

УДК 537.311.31.32

© 1992

**ПОЛЯРИЗОВАННЫЕ СПЕКТРЫ ОТРАЖЕНИЯ  
НОВОГО ОРГАНИЧЕСКОГО СВЕРХПРОВОДНИКА  
 $\kappa$ -(BEDT-TTF)<sub>2</sub>Cu[N(CN)<sub>2</sub>]Cl<sub>0.5</sub>Br<sub>0.5</sub>**

*P. M. Власова, О. О. Дроздова, В. Н. Семкин,  
Н. Д. Кущ, Э. Б. Ягубский*

Изучены поляризованные спектры отражения  $R(\omega)$  монокристалла нового органического сверхпроводника на основе донорной молекулы BEDT-TTF  $\kappa$ -(BEDT-TTF)<sub>2</sub>Cu[N(CN)<sub>2</sub>]Cl<sub>0.5</sub>Br<sub>0.5</sub> ( $T_c = 11.3$  К) в спектральном интервале 600—5500 и 9000—40 000 см<sup>-1</sup> в поляризациях, когда электрический вектор световой волны  $E$  параллелен ( $E_{\parallel}$ ) и перпендикулярен ( $E_{\perp}$ ) слоям молекул BEDT-TTF. Получено оптическое доказательство квазидвумерного характера проводящей электронной системы в кристалле. Показано также, что в поляризации  $E_{\perp}$  наблюдается слабый максимум, который может быть следствием переноса заряда между соседними слоями молекул BEDT-TTF.

Недавно были синтезированы новые сверхпроводящие соли на основе органической донорной молекулы BEDT-TTF (бис(этилендитио)тетратиафульвален, C<sub>10</sub>H<sub>8</sub>S<sub>8</sub>) состава  $\kappa$ -(BEDT-TTF)<sub>2</sub>Cu[N(CN)<sub>2</sub>]X, где X = Cl и Br [<sup>1-7</sup>]. Соль, содержащая Br, является сверхпроводником при нормальном давлении с температурой сверхпроводящего перехода  $T_c = 11.6$  К [<sup>1, 2</sup>]. Соль, содержащая Cl, не является при нормальном давлении сверхпроводником, но переходит в сверхпроводящее состояние при небольшом гидростатическом давлении ( $P = 0.3$  кбар) с  $T_c = 12.8$  К [<sup>4</sup>]. Указанные значения  $T_c$  превышают  $T_c$  ранее синтезированных органических сверхпроводников. Структура и физические свойства новых сверхпроводящих солей описаны в работах [<sup>5-7</sup>].

В этом году Э. Б. Ягубский и Н. Д. Кущ показали, что добавление Br при синтезе хлоридной соли (X = Cl) приводит к появлению у нее сверхпроводимости при нормальном давлении, и получили в результате этого новую соль  $\kappa$ -(BEDT-TTF)<sub>2</sub>Cu[N(CN)<sub>2</sub>]Cl<sub>0.5</sub>Br<sub>0.5</sub>, которая является сверхпроводником при нормальном давлении с  $T_c = 11.3$  К [<sup>8</sup>]. Они показали также, что новый сверхпроводник, изоструктурный хлоридной и бромидной солям, представляет собой индивидуальное соединение, а не сплав этих солей [<sup>8</sup>]. Кристаллы  $\kappa$ -(BEDT-TTF)<sub>2</sub>Cu[N(CN)<sub>2</sub>]Cl<sub>0.5</sub>Br<sub>0.5</sub> (ромбическая сингония, пространственная группа *Pnma*, Z = 4), так же как и их изоструктурные аналоги [<sup>5</sup>], имеют типичную для солей BEDT-TTF слоистую структуру. Слои молекул BEDT-TTF, упакованных парами (BEDT-TTF)<sub>2</sub><sup>+</sup> характерным для  $\kappa$ -фазы способом, и слои полимерного аниона (Cu[N(CN)<sub>2</sub>]Cl<sub>0.5</sub>Br<sub>0.5</sub>)<sup>-</sup> расположены параллельно плоскости (010) и смешены относительно друг друга на 1/4 периода вдоль оси **b** [<sup>5, 8</sup>].

В данной работе представлены поляризованные спектры отражения монокристаллов  $\kappa$ -(BEDT-TTF)<sub>2</sub>Cu[N(CN)<sub>2</sub>]Cl<sub>0.5</sub>Br<sub>0.5</sub>, измеренные от различных граней в спектральной области 600—5500 см<sup>-1</sup> (0.074—0.68 эВ) и 9000—40 000 см<sup>-1</sup> (1.1—5 эВ) при 293 К. Исследованные кристаллы представляют собой тонкие пластинки в виде неполностью ограниченных ромбиков с приблизительными размерами 0.5 × 0.5 × 0.1 мм (более толстые) и 0.5 × 0.5 × 0.02 мм (более тонкие), близкие по форме к кристаллам бромидной соли [<sup>2</sup>]. Наиболее развитая

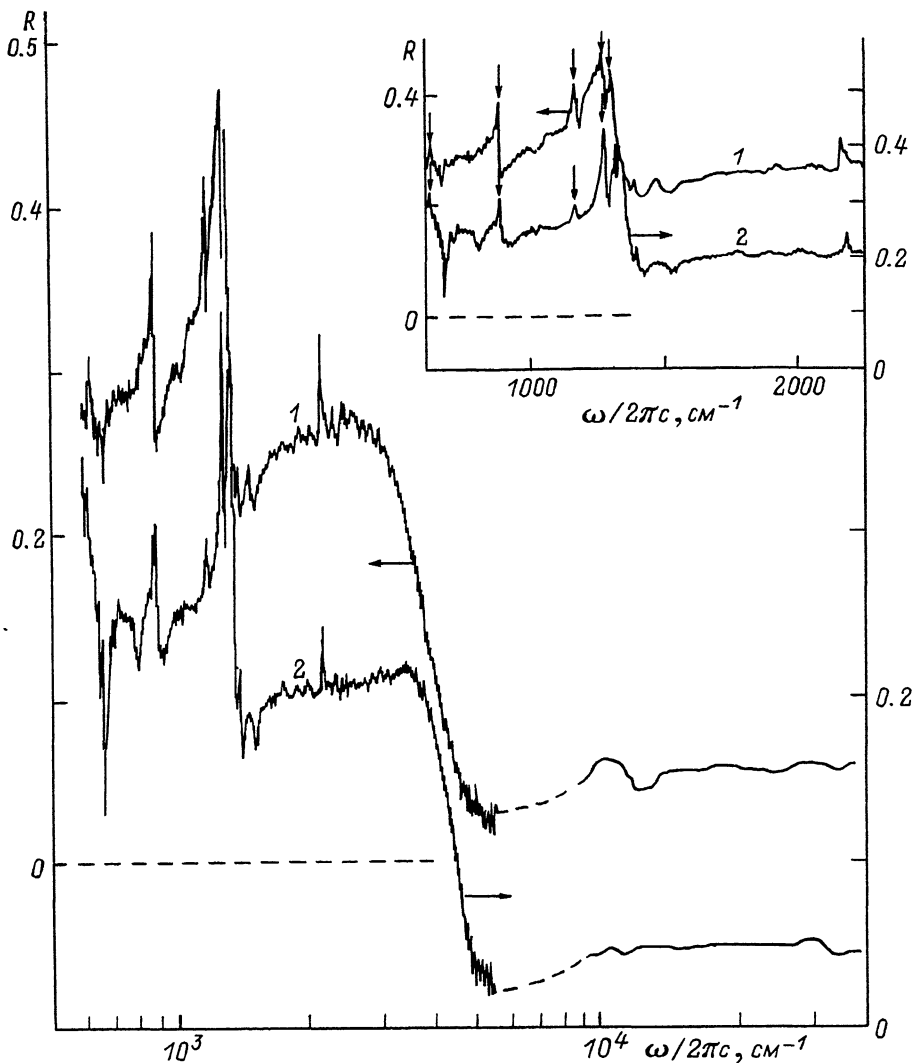


Рис. 1. Спектры отражения кристалла  $\chi$ -(BEDT-TTF)<sub>2</sub>Cu[N(CN)<sub>2</sub>]Cl<sub>0.5</sub>Br<sub>0.5</sub> от грани (010) в поляризациях  $E \parallel a$  (1) и  $E \parallel c$  (2).

Штриховая линия — экстраполяция  $R$  в неизмеренный участок спектра, сделанная на основании соответствующих экспериментальных данных, полученных для родственного кристалла в [1]. На вставке — низкочастотная часть спектра.

грань кристаллов имеет индексы (010). Некоторые кристаллки имеют хорошо (глубокий провал при  $\sim 670$  см $^{-1}$ ) обусловлены поглощением CO<sub>2</sub> в объеме микроскопа) воженные острый ( $66^\circ$ ) и тупой углы, образованные узкими боковыми гранями (101). Биссектрисы этих углов, большая и малая диагонали ромба, есть кристаллографические оси  $a$  и  $c$  соответственно. Хорошо ограненные микроучастки кристалла на каждой грани имеют достаточно гладкую зеркальную поверхность. Все это позволило ориентировать кристаллы в поле световой волны и провести измерения спектров отражения от наиболее развитой грани (010) в поляризациях  $E \parallel a$  и  $E \parallel c$  и от узкой боковой грани (101) в поляризациях  $E \parallel [101]$  и  $E \parallel b$  с использованием микроскопной техники.

Спектры отражения  $R(\omega)$  в области 600—5500 см $^{-1}$  измерялись на ИК Фурье-спектрометре BRUKER IFS-88, оборудованном ИК микроскопом (диаметр светового пучка 75 мкм, разрешение 2 см $^{-1}$ , МСТ детектор, охлаждаемый до

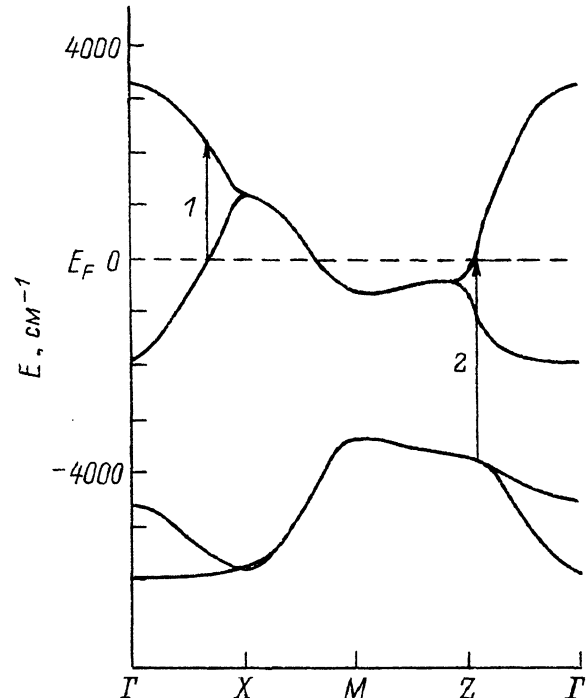
Рис. 2. Дисперсионные соотношения для двух верхних занятых энергетических зон, рассчитанные для одного слоя донорных молекул BEDT-TTF в кристалле  $\kappa$ -(BEDT-TTF)<sub>2</sub>Cu(N(CN)<sub>2</sub>)Cl [5, 7].

Штриховая линия обозначает энергию Ферми, принятую равной нулю. Стрелками показаны значения энергий.  $E_a = 2180 \text{ cm}^{-1}$  (1),  $E_c = 3636 \text{ cm}^{-1}$  (2).

77 К, светофильтр KBr, поляризатор KRS-5). Для увеличения отношения сигнала к шуму измерение проводилось при многократном накоплении сигнала ( $>10^4$  раз). В области 9000—40 000  $\text{cm}^{-1}$  спектры измерялись на усовершенствованном микроспектрорефлектометре типа «Блеск» [9] (диаметр светового пучка 25 мкм, разрешение 60  $\text{cm}^{-1}$ , поляризатор — призма Глана—Томпсона). Контроль качества и положения анализируемой поверхности относительно оси микроскопов и ориентация кристалла осуществлялись путем наблюдения картины в выходном зрачке приборов. При измерении  $R$  от каждой грани были исследованы различные микроучастки поверхности на нескольких кристаллах и на каждой грани был выбран наиболее отражающий участок. Абсолютное значение коэффициента отражения  $R$  определялось по отношению к алюминиевому зеркалу и SiC.

На рис. 1 представлены спектры отражения кристалла  $\kappa$ -(BEDT-TTF)<sub>2</sub>Cu[N(CN)<sub>2</sub>]Cl<sub>0.5</sub>Br<sub>0.5</sub>, измеренные от грани (010) в поляризациях  $E \parallel a$  и  $E \parallel c$ . Представленные спектры в области 600—5500  $\text{cm}^{-1}$  близки к соответствующим спектрам кристаллов хлоридной [7] и бромидной [6] солей при 295 К. Из рис. 1 видно, что анизотропия  $R(\omega)$  в плоскости (010) незначительна. В обеих поляризациях в ИК области наблюдается достаточно высокое отражение с плазменным краем вблизи 4000  $\text{cm}^{-1}$  и глубоким минимумом ( $R \sim 0.02$ ) при 5500  $\text{cm}^{-1}$ , обусловленное проводящей электронной системой в слоях BEDT-TTF. Особенностью спектров, типичной для большинства органических металлов и сверхпроводников на основе BEDT-TTF (см., например, [6, 7, 10–13]), является существенное отличие их от друлевского.

Во-первых, в спектрах  $R(\omega)$  исследованного кристалла в обеих поляризациях наблюдается широкий максимум, расположенный при 2500  $\text{cm}^{-1}$  для  $E \parallel a$  и при 3450  $\text{cm}^{-1}$  для  $E \parallel c$ . Природа этого максимума определяется особенностями электронной энергетической структуры кристаллов. Вследствие димерной упаковки молекул BEDT-TTF в слоях и степени их окисления (BEDT-TTF)<sub>2</sub><sup>+</sup> электронная структура состоит из наполовину заполненной зоны и близко к ней расположенной полностью заполненной зоны [5–7, 12–14]. Электронные переходы между этими зонами ответственны за наблюдаемые в спектрах максимумы. Для примера на рис. 2 приведена зонная структура кристалла  $\kappa$ -(BEDT-TTF)<sub>2</sub>Cu[N(CN)<sub>2</sub>]Cl, рассчитанная для одного слоя молекул BEDT-TTF в приближении сильной связи в [5]. Стрелками на рис. 2 показаны вертикальные междузонные переходы, соответствующие наблюдаемым в  $R(\omega)$  максимумам.



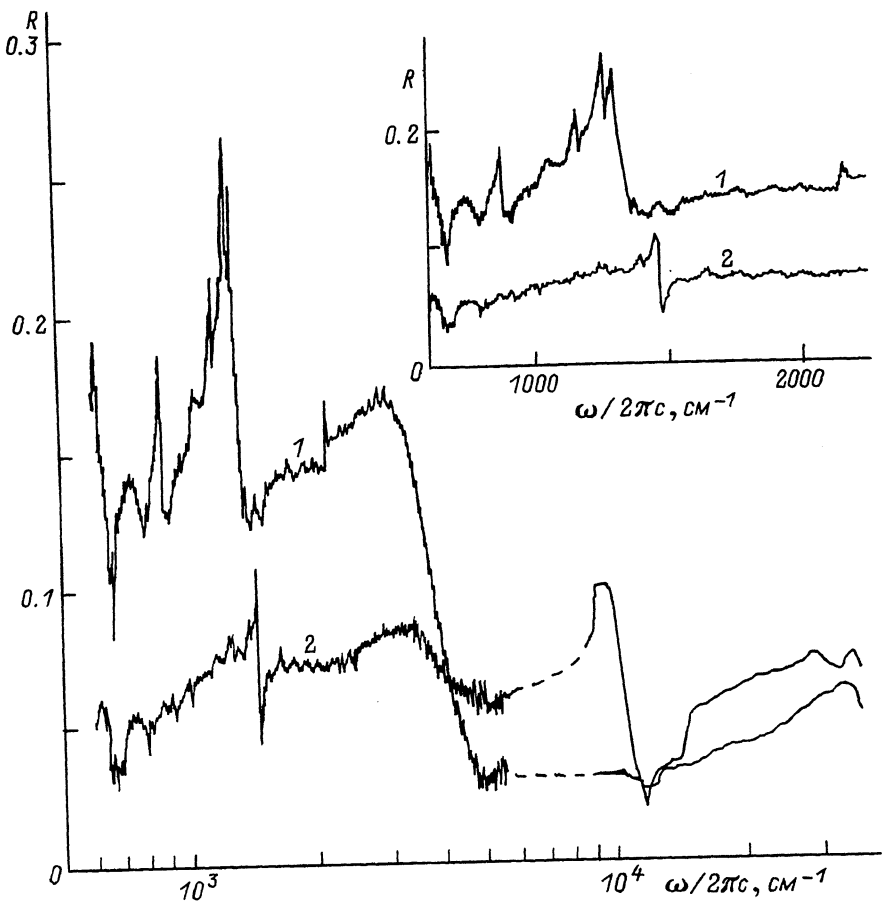


Рис. 3. Спектры отражения кристалла  $\kappa$ -(BEDT-TTF)<sub>2</sub>CuN(CN)<sub>2</sub>Cl<sub>0.5</sub>Br<sub>0.5</sub> от грани (101) в поляризациях  $E \parallel [101]$  (1) и  $E \parallel b$  (2).

Штриховая линия — экстраполяция  $R$  в неизмеренный участок спектра, сделанная на основании соответствующих экспериментальных данных, полученных для родственного кристалла [11]. На вставке — низкочастотная часть спектра.

Во-вторых, в спектрах наблюдается интенсивная электронно-колебательная структура, наиболее характерные особенности которой расположены на частотах 1296, 1263, 1165, 876 и 619  $\text{cm}^{-1}$  для  $E \parallel a$  и 1321, 1271, 1165, 881 и 610  $\text{cm}^{-1}$  для  $E \parallel c$  (указаны стрелками на вставках рис. 1). На основании данных, полученных нами ранее для сверхпроводника (BEDT-TTF)<sub>4</sub>Hg<sub>2.89</sub>Br<sub>8</sub> ( $T_c = 4.3$  К) [11–13], мы полагаем, что указанные особенности в спектрах обусловлены взаимодействием электронной системы со следующими полносимметричными внутримолекулярными колебаниями ( $a_g$ -БМК) BEDT-TTF: валентными колебаниями C=C, C-S и C-C связей ( $a_g^{\nu_4} = 1494$ ,  $a_g^{\nu_{10}} = 876$  и  $a_g^{\nu_{11}} = 642 \text{ см}^{-1}$  [15]) и деформационными колебаниями C-C-H и H-C-H связей ( $a_g^{\nu_5} = 1445$ ,  $a_g^{\nu_6} = 1281$  и  $a_g^{\nu_7} = 1147 \text{ см}^{-1}$  [15]). Следует отметить, что для  $\kappa$ -(BEDT-TTF)<sub>2</sub>Cu[N(CN)<sub>2</sub>]Cl<sub>0.5</sub>Br<sub>0.5</sub> они расположены на 2–13  $\text{cm}^{-1}$  ниже, чем соответствующие особенности для (BEDT-TTF)<sub>4</sub>Hg<sub>2.89</sub>Br<sub>8</sub> [11] (кроме полосы при 1271  $\text{cm}^{-1}$ ), что может указывать на относительное смягчение решетки у сверхпроводника с более высокой  $T_c$ .

Из рис. 1 видно, что на фоне широкого электронного максимума в спектрах наблюдаются узкая полоса при 2162  $\text{cm}^{-1}$  с плечом при 2178  $\text{cm}^{-1}$  (дублет) для

$E \parallel a$  и узкая полоса при  $2178 \text{ см}^{-1}$  для  $E \parallel c$ . Их можно отнести к валентным колебаниям CN групп аниона  $(\text{Cu}[\text{N}(\text{CN})_2]\text{Cl}_{0.5}\text{Br}_{0.5})^-$  аналогично соответствующим полосам в ИК спектрах  $\kappa$ -(BEDT-TTF)<sub>2</sub>Cu(NCS)<sub>2</sub> [1<sup>6</sup>], а также в ИК спектрах хлоридной [7] и бромидной [6] солей.

В высокочастотной части спектра ( $9000$ — $40000 \text{ см}^{-1}$ ) наблюдается низкий, близкий к друдевскому, фон отражения: для  $E \parallel c$   $R$  возрастает от  $0.02$  в области плазменного минимума до  $0.07$  при  $40000 \text{ см}^{-1}$ , для  $E \parallel a$  на друдевский фон накладываются перекрывающиеся широкие полосы электронных внутримолекулярных переходов BEDT-TTF.

На рис. 3 представлены спектры отражения кристалла  $\kappa$ -(BEDT-TTF)<sub>2</sub>Cu[N(CN)<sub>2</sub>]Cl<sub>0.5</sub>Br<sub>0.5</sub> от грани (101) в поляризациях  $E \parallel [101]$  и  $E \parallel b$ . Видно, что для этой грани анизотропия спектров более значительна и качественно отлична от слабой анизотропии, наблюдавшейся для грани (010). В поляризации  $E \parallel [101]$  ( $E$  параллелен плоскости слоев BEDT-TTF ( $E_{\parallel}$ ))  $R(\omega)$  подобен представленным на рис. 1 спектрам для  $E \parallel a$  и  $E \parallel c$  и имеет промежуточную между ними форму. В поляризации  $E \parallel b$ , т. е. в случае, когда  $E$  перпендикулярен плоскости слоев BEDT-TTF ( $E_{\perp}$ ),  $R$  имеет типичные для диэлектрика низкие значения ( $R < 0.1$ ), мало зависящие от частоты во всей исследованной средней ИК области ( $600$ — $5500 \text{ см}^{-1}$ ). На низком фоне наблюдается одна узкая достаточно интенсивная полоса при  $1460 \text{ см}^{-1}$ , которую следует отнести к деформационным колебаниям H—C—H групп молекулы BEDT-TTF ( $b_{1u}\nu_{28}$ ,  $1420 \text{ см}^{-1}$  [1<sup>7</sup>]).

Из четырех приведенных на рис. 1, 3 спектров можно заключить, что отражение света проводящей электронной системой имеет место в случае  $E_{\parallel}$  и практически отсутствует в случае  $E_{\perp}$ . Этот результат свидетельствует о квазидвумерном характере электронной системы в кристаллах. Подобный вид оптической анизотропии наблюдался нами ранее для сверхпроводников  $\kappa$ -(BEDT-TTF)<sub>4</sub>Hg<sub>2.89</sub>Br<sub>8</sub> и  $\kappa$ -(BEDT-TTF)<sub>2</sub>Cu(NCS)<sub>2</sub> [1<sup>1</sup>—1<sup>3</sup>] и является, по-видимому, характерным для всех соединений этого класса.

Необходимо отметить, однако, существенную особенность спектра кристалла  $\kappa$ -(BEDT-TTF)<sub>2</sub>Cu[N(CN)<sub>2</sub>]Cl<sub>0.5</sub>Br<sub>0.5</sub> в поляризации  $E_{\perp}$  ( $R_{\perp}(\omega)$ ). Из рис. 3 видно, что в спектре  $R_{\perp}(\omega)$  имеется слабый широкий максимум в области  $3000 \text{ см}^{-1}$  с последующим за ним неглубоким минимумом при  $5000 \text{ см}^{-1}$ , напоминающий соответствующий электронный максимум в поляризациях  $E_{\parallel}$ . По нашему мнению, следующие явления могут быть причиной этого максимума.

1. Существование наклонных лучей в световом пучке, обусловленное действующей апертурой микрообъектива (~0.6) и приводящее к появлению в поляризации  $E_{\perp}$  небольшой составляющей вектора  $E$ , параллельной плоскости (010). Этому объяснению, однако, противоречат следующие экспериментальные факты: во-первых, в спектре  $R_{\perp}(\omega)$  отсутствует электронно-колебательная структура, имеющаяся во всех спектрах в поляризации  $E_{\parallel}$ ; во-вторых, в  $R_{\perp}(\omega)$  отсутствуют характеристические полосы валентных колебаний CN групп (2162 и  $2178 \text{ см}^{-1}$ ; см. вставку на рис. 3), имеющиеся также в спектрах в поляризации  $E_{\parallel}$ .

2. Прямое возбуждение плазмонов светом, которое может происходить в квазидвумерном кристалле при наклонном падении света на грань кристалла, перпендикулярную проводящим плоскостям, в том случае, когда вектор  $E$  лежит в плоскости падения, перпендикулярной этим плоскостям [1<sup>8</sup>].

3. Перенос заряда между соседними проводящими слоями BEDT-TTF вдоль оси  $b$ . Эта причина, по нашему мнению, является наиболее вероятной. Следует отметить, что если перенос заряда вдоль оси  $b$  в поляризации  $E_{\perp}$  ( $E \parallel b$ ) имеет место, то, как видно из рис. 3, он не сопровождается электронно-колебательным взаимодействием, поскольку соответствующая ему структура в спектрах  $R_{\perp}(\omega)$  отсутствует.

Из рис. 3 видно, что для грани (101) в области 9000—40 000 см<sup>-1</sup> в спектрах ясно видны широкие полосы, которые следует отнести к электронным внутримолекулярным переходам BEDT—TTF [<sup>11, 19</sup>]. Эти полосы наиболее интенсивны в поляризации  $E \parallel b$ , на основании чего можно заключить, что соответствующие им электронные переходы поляризованы вдоль длинной оси молекул BEDT—TTF, поскольку последние ориентированы в слоях так, что их длинная ось почти параллельна кристаллографической оси  $b$ .

В заключение авторы выражают благодарность Р. П. Шибаевой за любезное предоставление необходимых кристаллографических данных, Б. З. Волчку за полезные методические консультации и С. В. Шилову за помощь при измерении спектров отражения в ИК области.

### Список литературы

- [1] Kini A. M., Geiser U., Wang H. H., Carlson K. D., Williams J. M., Kwok W. K., Vandervoort K. G., Thompson J. E., Stupka D., Jung D., Whangbo M.-H. // Inorg. Chem. 1990. V. 29. P. 2555.
- [2] Wang H. H., Kini A. M., Montgomery L. K., Geiser U., Carlson K. D., Williams J. M., Thompson J. E., Watkins D. M., Kwok W. K. // Chem. Mater. 1990. V. 2. P. 482—488.
- [3] Schirber J. E., Overmyer D. L., Williams J. M., Kini A. M., Wang H. H. // Physica C. 1990. V. 170. P. 231—232.
- [4] Williams J. M., Kini A. M., Wang H. H., Carlson K. D., Geiser U., Montgomery L. K., Pyrka G. J., Watkins D. M., Kommers J. M., Boryschuk S. J., Strieby Crouch A. V., Kwok W. K., Schirber J. E., Overmyer D. L., Jung D., Whangbo M.-H. // Inorg. Chem. 1990. V. 29. P. 3272.
- [5] Geiser U., Schultz A. J., Wang H. H., Watkins D. M., Stupka D. L., Williams J. M., Schirber J. E., Overmyer D. L., Jung D., Novoa J. J., Whangbo M.-H. // Physica C. 1991. V. 174. P. 475—486.
- [6] Eldridge J. E., Kornelsen K., Wang H. H., Williams J. M., Strieby Crouch A. V., Watkins D. M. // Sol. State Commun. 1991. V. 79. N 7. P. 583—590.
- [7] Kornelsen K., Eldridge J. E., Wang H. H., Charlier H. A., Williams J. M. // Sol. State Commun. 1992. V. 81. N 4. P. 343—350.
- [8] Кущ Н. Д., Буравов Л. И., Хаменко А. Г., Ягубский Э. Б., Розенберг Л. П., Шибаева Р. П. // Synthetic Metals. 1991 (in press).
- [9] Агроскин Л. С., Папаян Г. В., Раутян Л. П. // ДАН СССР. 1971. Т. 197. С. 62.
- [10] Kaplunov M. G., Yagubskii E. B., Lyubovskaya R. N., Bazhenov A. N., Borodko Yu. G. // Mater. Science. 1988. V. 14. N 4. P. 33—38.
- [11] Власова Р. М., Любовская Р. Н., Жиляева Е. И., Приев С. Я., Семкин В. Н. // ФТТ. 1990. Т. 32. № 10. С. 3024—3028.
- [12] Vlasova R. M., Priev S. Ya., Semkin V. N., Lyubovskaya R. N., Zhilyaeva E. I., Yartsev V. M. // Mater. Sci. 1991. V. 17. N 1. P. 75—81.
- [13] Vlasova R. M., Priev S. Ya., Semkin V. N., Lyubovskaya R. N., Zhilyaeva E. I., Yagubskii E. B., Yartsev V. M. // Synthetic Metals. 1992. V. 48. N 2. P. 129—142.
- [14] Yacobsen C. S., Tanner D. B., Williams J. M., Geiser U., Wang H. H. // Phys. Rev. B. 1987. V. 35. P. 9605—9613.
- [15] Meneghetti M., Bozio R., Pecile C. // Synthetic Metals. 1987. V. 19. P. 143—149.
- [16] Sugano T., Hayashi H., Takenouchi H., Nishikida K., Urayama H., Yamochi H., Saito G., Kinoshita M. // Phys. Rev. B. 1988. V. 38. N 15. P. 9100—9102.
- [17] Koslov M. E., Pokhodnia K. J., Yurchenko A. A. // Spectrochim. Acta. 1987. V. 43A. N 3. P. 323—329.
- [18] Булавевский Л. Н., Кухаренко Ю. А. // ФТТ. 1972. Т. 14. № 8. С. 2401—2406.
- [19] Власова Р. М., Приев С. Я., Семкин В. Н., Ягубский Э. Б., Агроскин Л. С., Петров В. К. // ФТТ. 1990. Т. 32. № 2. С. 448—455.